

Prova de Eletromagnetismo EE 521 – 2 de julho de 2009.

Prof. Cesar Pagan. FEEC – UNICAMP

Nome: «nome» RA: «N»

1. **(2,0) Lei de Biot-Savart.** Use a Lei de Biot-Savart para calcular a densidade de campo magnético \mathbf{B} na origem do arranjo representado na figura ao lado. Considere que os fios retos se estendem até o infinito. Faça um esquema de todos os elementos usados na solução.

Solução:

Podemos dividir o problema em três partes, uma referente à reta de cima, outra para o semi-círculo e outra para a reta de baixo, conforme a figura 2.

Primeiro, definimos um sistema de eixos *dextrógiro*, isto é, um sistema para o qual o produto vetorial é definido como $\hat{\mathbf{e}}_x \times \hat{\mathbf{e}}_y = \hat{\mathbf{e}}_z$ segundo a regra da mão direita.

A Lei de Biot-Savart é dada pela expressão:

$$\mathbf{B}(\mathbf{r}) = \frac{\mu_0}{4\pi} \oint \frac{i d\mathbf{\ell} \times (\mathbf{r} - \mathbf{r}')}{|\mathbf{r} - \mathbf{r}'|^3} \quad (1)$$

Para aplicá-la, precisamos definir \mathbf{r} , \mathbf{r}' , e $d\mathbf{\ell}$.

Façamos isso para o trecho I (reta superior):

- \mathbf{r} é a posição em que se mede o campo, no caso $\mathbf{r} = \mathbf{0}$;
- \mathbf{r}' é a posição do elemento de corrente. Logo $\mathbf{r}' = x\hat{\mathbf{e}}_x + b\hat{\mathbf{e}}_y$; e
- $d\mathbf{\ell}$ (vetor) é o tamanho do elemento de corrente, $d\mathbf{\ell} = dx\hat{\mathbf{e}}_x$. Usamos porque a integração será feita no sentido da corrente, ou seja, de $+\infty$ até zero. Este caminho de integração produz elementos dx negativos. Se, por outro lado, adotássemos o sinal negativo, $d\mathbf{\ell} = -dx\hat{\mathbf{e}}_x$, a integração deveria ser feita no sentido convencional, isto é, de zero até $+\infty$.

Assim, temos:

$$\mathbf{B}_I(\mathbf{r}) = \frac{\mu_0}{4\pi} \int_{-\infty}^0 \frac{idxd\mathbf{e}_x \times (-x\hat{\mathbf{e}}_x - b\hat{\mathbf{e}}_y)}{(x^2 + b^2)^{3/2}} \quad (2)$$

Fazendo o produto vetorial, temos $\hat{\mathbf{e}}_x \times \hat{\mathbf{e}}_x = \mathbf{0}$ e $\hat{\mathbf{e}}_x \times (-\hat{\mathbf{e}}_y) = (-\hat{\mathbf{e}}_z)$, de onde resulta:

$$\mathbf{B}_I(\mathbf{r}) = -\frac{\mu_0 ib}{4\pi} \hat{\mathbf{e}}_z \int_{-\infty}^0 \frac{dx}{(x^2 + b^2)^{3/2}} = \frac{\mu_0 ib}{4\pi} \hat{\mathbf{e}}_z \int_0^{\infty} \frac{dx}{(x^2 + b^2)^{3/2}} \quad (3)$$

Considerando $x = b \tan \theta$ e $dx = b \sec^2 \theta d\theta$, obtemos:

$$\mathbf{B}_I(\mathbf{r}) = \frac{\mu_0 ib}{4\pi} \hat{\mathbf{e}}_z \int_0^{\pi/2} \frac{b \sec^2 \theta d\theta}{(b^2 \tan^2 \theta + b^2)^{3/2}} = \frac{\mu_0 i}{4\pi b} \hat{\mathbf{e}}_z \int_0^{\pi/2} \frac{\sec^2 \theta d\theta}{\sec^3 \theta} = \frac{\mu_0 i}{4\pi b} \hat{\mathbf{e}}_z \int_0^{\pi/2} \cos \theta d\theta = \frac{\mu_0 i}{4\pi b} \hat{\mathbf{e}}_z \quad (4)$$

Para a contribuição do trecho III, temos uma situação simétrica, para o que basta multiplicar \mathbf{B}_I por dois. Para provar esta afirmação, observamos que, neste caso, $\mathbf{r}' = x\hat{\mathbf{e}}_x - b\hat{\mathbf{e}}_y$ e que os limites de integração mudam para seguir o sentido da corrente, de zero até $+\infty$.

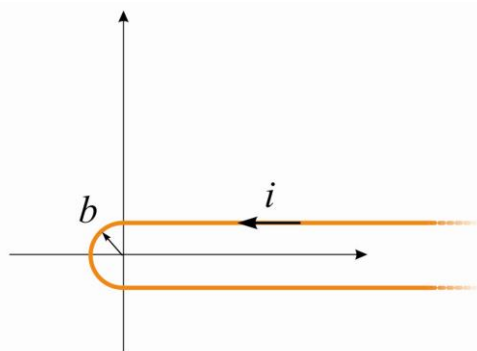


Figura 1: Aplicação da Lei de Biot-Savart (Problema 1).

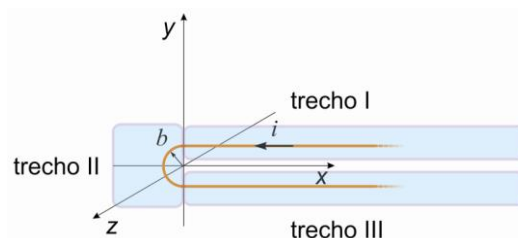


Figura 2: O arranjo foi dividido em três trechos para facilitar os cálculos.

Temos

$$\mathbf{B}_{III}(\mathbf{r}) = \frac{\mu_0}{4\pi} \int_0^\infty \frac{idx \hat{\mathbf{e}}_x \times (-x\hat{\mathbf{e}}_x + b\hat{\mathbf{e}}_y)}{(x^2 + b^2)^{3/2}} = \frac{\mu_0 ib}{4\pi} \hat{\mathbf{e}}_z \int_0^\infty \frac{dx}{(x^2 + b^2)^{3/2}} \quad (5)$$

que é o mesmo resultado que (3).

Para o trecho semi-circular:

- \mathbf{r} é a posição em que se mede o campo, no caso $\mathbf{r}=\mathbf{0}$;
 - \mathbf{r}' é a posição do elemento de corrente. Logo $\mathbf{r}' = b\hat{\mathbf{e}}_\rho$; e
 - $d\ell$ (vetor) é o tamanho do elemento de corrente, $d\ell = bd\phi\hat{\mathbf{e}}_\phi$.
- Assim, temos:

$$\mathbf{B}_{II}(\mathbf{r}) = \frac{\mu_0}{4\pi} \int_{\pi/2}^{3\pi/2} \frac{ibd\phi\hat{\mathbf{e}}_\phi \times (-b\hat{\mathbf{e}}_\rho)}{(b^2)^{3/2}} \quad (6)$$

Como $\hat{\mathbf{e}}_\phi \times (-\hat{\mathbf{e}}_\rho) = \hat{\mathbf{e}}_z$, obtemos

$$\mathbf{B}_{II}(\mathbf{r}) = \frac{\mu_0 i}{4\pi b} \hat{\mathbf{e}}_z \int_{\pi/2}^{3\pi/2} d\phi = \frac{\mu_0 i}{4b} \hat{\mathbf{e}}_z \quad (7)$$

Conhecendo os valores de \mathbf{B}_I , \mathbf{B}_{II} e \mathbf{B}_{III} , obtemos o valor do campo na origem do arranjo:

$$\mathbf{B}(\mathbf{r}) = \mathbf{B}_I + \mathbf{B}_{II} + \mathbf{B}_{III} = 2\mathbf{B}_I + \mathbf{B}_{II} = \frac{\mu_0 i}{2\pi b} \hat{\mathbf{e}}_z + \frac{\mu_0 i}{4b} \hat{\mathbf{e}}_z \quad (8)$$

$$\mathbf{B} = \hat{\mathbf{e}}_z \frac{\mu_0 i}{b} \left(\frac{1}{4} + \frac{1}{2\pi} \right) \quad (9)$$

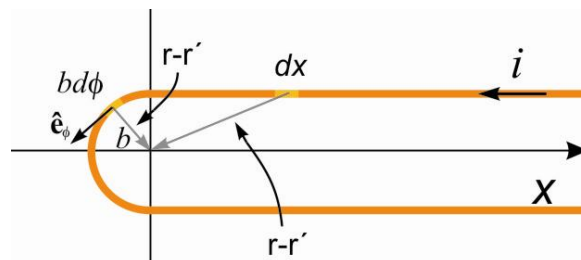
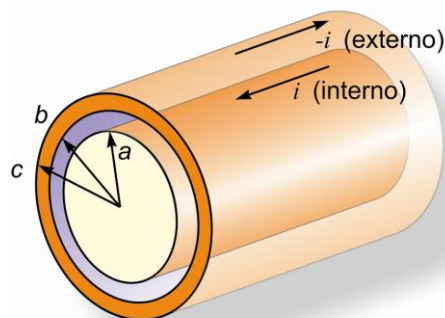


Figura 3: Elementos utilizados nos cálculos para solução deste problema.

2. **(3,0) Lei de Ampère.** Um cabo coaxial com condutor interno de raio a e condutor externo de raio interno b e raio externo c , como na figura, conduz uma corrente I .

- (2,0) Calcule a intensidade de campo magnético \mathbf{H} em todo o espaço (no interior do condutor interno, no espaço entre os condutores, no interior do condutor externo e fora do arranjo). Defina a direção de \mathbf{H} . Faça um esquema de sua solução.
- (1,0) Faça um gráfico representando a H em função da distância ao eixo de simetria.



Solução:

A Lei de Ampère é dada pela expressão:

Figura 4: Cálculo da intensidade de campo magnético \mathbf{H} para o Cabo coaxial (Problema 2).

$$\oint \mathbf{H} \cdot d\mathbf{l} = i. \quad (1)$$

Utilizaremos como caminho *fechado* de integração, circunferências com centro no eixo de simetria do cabo coaxial, integrando no sentido anti-horário. Com esta opção, a contribuição da corrente que está no sentido para fora da folha de papel produz uma contribuição positiva para \mathbf{H} .

Dividimos o problema em 4 segmentos:

Para $\rho < a$:

$$\int_0^{2\pi} H_\phi (\hat{\mathbf{e}}_\phi \cdot \hat{\mathbf{e}}_\phi) \rho d\phi = \int_0^{2\pi} H_\phi \rho d\phi = H_\phi 2\pi\rho = i(\rho).$$

onde $i(\rho)$ é a corrente que passa por dentro da superfície limitada por uma circunferência de raio ρ . Para encontrar o valor de $i(\rho)$, calculamos o valor da densidade de corrente J , que é a corrente por unidade de área que passa pelo condutor central. Supondo que densidade é homogênea, temos

$$J = \frac{i}{\pi a^2},$$

que multiplicado pela área limitada por ρ , $\pi\rho^2$, resulta em $i(\rho)$:

$$i(\rho) = J\pi\rho^2 = \frac{\pi\rho^2}{\pi a^2} i = \frac{\rho^2}{a^2} i.$$

Com este resultado é possível encontrar o campo dentro do condutor interno:

$$H_\phi = \frac{\rho^2 i}{2\pi a^2} = \frac{i}{2\pi a^2} \rho.$$

ou

$$\mathbf{H} = \hat{\mathbf{e}}_\phi \frac{i}{2\pi a^2} \rho$$

Concluimos que a intensidade de campo magnético \mathbf{H} cresce linearmente no para $\rho < a$.

Para $a < \rho < b$:

A corrente envolvida neste caso é exatamente i , e os cálculos são mais simples:

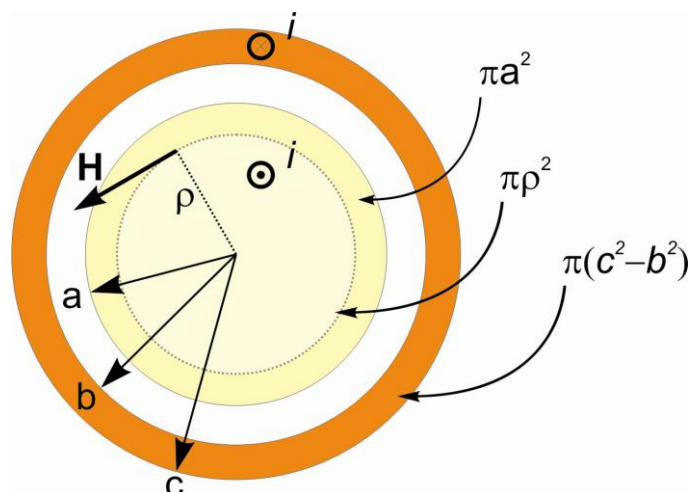


Figura 5: Segundo a Lei de Ampère, o campo magnético é proporcional à corrente que atravessa o caminho de integração.

$$\int_0^{2\pi} H_\phi \rho d\phi = H_\phi 2\pi\rho = i$$

$$H_\phi = \frac{i}{2\pi\rho}$$

ou

$$\mathbf{H} = \hat{\mathbf{e}}_\phi \frac{i}{2\pi\rho}$$

Para $b < \rho < c$:

Fazemos de maneira similar à região em que $\rho < a$. Aqui, a corrente está entrando e se distribui por uma superfície $A = \pi(c^2 - b^2)$,

$$J = \frac{i}{\pi(c^2 - b^2)}.$$

A corrente envolvida pela superfície de integração inclui a corrente do condutor interno, apontada para fora e portanto positiva, e a fração $(\rho^2 - b^2)/(c^2 - b^2)$ do condutor externo, com corrente negativa:

$$i(\rho) = i - \frac{\pi(\rho^2 - b^2)}{\pi(c^2 - b^2)} i = \frac{c^2 - b^2 - \rho^2 + b^2}{c^2 - b^2} i = \frac{c^2 - \rho^2}{c^2 - b^2} i,$$

e assim,

$$\int_0^{2\pi} H_\phi \rho d\phi = H_\phi 2\pi\rho = \frac{c^2 - \rho^2}{c^2 - b^2} i$$

$$H_\phi = \frac{i}{2\pi\rho} \left[\frac{c^2 - \rho^2}{c^2 - b^2} \right]$$

Logo

$$\mathbf{H} = \hat{\mathbf{e}}_\phi \frac{i}{2\pi\rho} \left[\frac{c^2 - \rho^2}{c^2 - b^2} \right]$$

Para $\rho > c$:

Neste região a soma das correntes que atravessa a superfície envolvida é zero, o que resulta em um campo magnético nulo, ou seja,

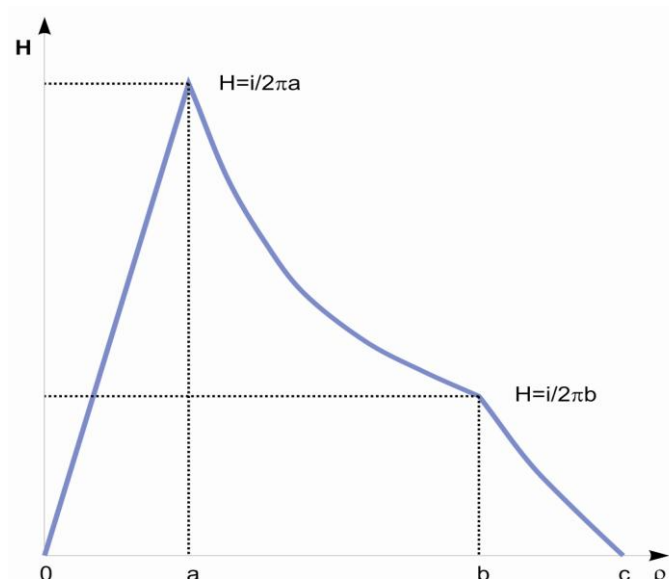
$$\int_0^{2\pi} H_\phi \rho d\phi = H_\phi 2\pi\rho = 0$$

Logo

$$\mathbf{H} = \mathbf{0}.$$

Um gráfico para representar a intensidade de campo magnético no cabo coaxial é dado na figura ao lado.

Figura 6: Módulo da intensidade de campo magnético H em um cabo coaxial como função da distância ao eixo de simetria. O campo está na direção $\hat{\mathbf{e}}_\phi$.



3. **(2,0) Indutância.** Uma espira circular de raio a tem no seu centro uma outra espira circular de raio $b \ll a$. Os planos das duas espiras formam um ângulo θ entre si. Calcule a indutância mútua entre as espiras.

Solução:

Para calcular a indutância mútua, iniciamos calculando a densidade de fluxo magnético \mathbf{B} provocada pela espira de raio a no ponto central do dispositivo, o qual consideraremos a origem do sistema de coordenadas. Para obter seu valor utilizamos a Lei de Biot-Savart:

$$\mathbf{B} = \frac{\mu_0}{4\pi} \int_0^{2\pi} \frac{ib d\phi \hat{\mathbf{e}}_\phi \times (-b\hat{\mathbf{e}}_\rho)}{(b^2)^{3/2}} = \frac{\mu_0 i}{2a} \hat{\mathbf{e}}_z \quad (1)$$

Como $b \ll a$, supomos que o campo \mathbf{B} é aproximadamente constante no interior da espira de raio b . Para saber a indutância mútua precisamos calcular o fluxo que atravessa a espira menor, o que é feito pela integral do fluxo:

$$\Phi = \int_{\text{Espriamenor de raio } b} \mathbf{B} \cdot d\mathbf{S} = \int_{\text{Espriamenor de raio } b} \frac{\mu_0 i}{2a} \hat{\mathbf{e}}_z \cdot \hat{\mathbf{e}}_n dS \quad (2)$$

onde $\hat{\mathbf{e}}_n$ é um versor unitário alinhado com a normal ao plano da espira menor e inclinado θ radianos em relação à normal ao plano da espira maior. Disto resulta

$$\Phi = \int_{\text{Espriamenor de raio } b} \frac{\mu_0 i}{2a} \cos(\theta) dS = \frac{\mu_0 i \pi b^2}{2a} \cos(\theta) \quad (3)$$

Como para meios lineares a indutância é a razão entre fluxo e corrente, temos que a indutância é:

$$L = \frac{\mu_0 \pi b^2}{2a} \cos \theta \quad (4)$$

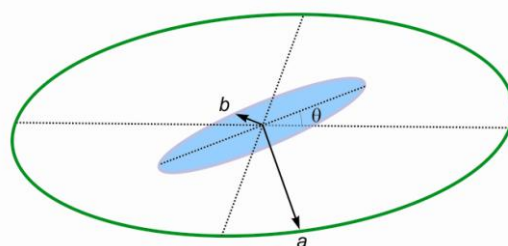


Figura 7: Duas espiras concêntricas, formando um ângulo θ entre si.

4. **(3,0) Lei de Faraday:** Uma espira quadrada possui lado L e tem uma resistência R . A espira pertence ao plano $z=0$, com seus vértices em $(0,0,0)$, $(0,L,0)$, $(L,L,0)$ e $(L,0,0)$ em $t=0$. A espira se move com velocidade $\mathbf{v}=v_y\hat{\mathbf{e}}_y$ em uma densidade de campo

$$\mathbf{B}=B_0\cos(\omega t-kx)\hat{\mathbf{e}}_z.$$

Encontre uma função do tempo que expresse a perda ôhmica que é entregue à espira.

Solução:

O campo não varia com y , que é a direção do movimento, portanto não há variação de fluxo. Fisicamente, aparecerá um campo elétrico alinhado ao longo dos lados superior e inferior do quadrado, ambos com o mesmo módulo e apontados para o sentido de $-\hat{\mathbf{e}}_x$, e intensidade $v_y B$. Porém, como ambos são iguais, não haverá corrente em função deste fato. Somado a este efeito, no entanto, está a variação da densidade de fluxo magnético com o tempo, o que produzirá uma força eletromotriz no circuito no valor da derivada do fluxo:

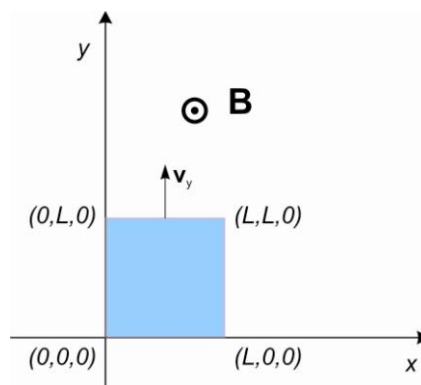


Figura 8: Uso da Lei de Faraday para calcular a perda ôhmica no circuito.

$$\Phi = \int_0^L \int_0^L \mathbf{B} \cdot \hat{\mathbf{e}}_z dx dy = \int_0^L \int_0^L B_0 \cos(\omega t - kx) (\hat{\mathbf{e}}_z \cdot \hat{\mathbf{e}}_z) dx dy = \int_0^L \int_0^L B_0 \cos(\omega t - kx) dx dy = L \int_0^L B_0 \cos(\omega t - kx) dx$$

$$\Phi = L \frac{1}{K} B_0 \sin(\omega t - kx) \Big|_0^L = L \frac{1}{K} [B_0 \sin(\omega t - kL) - B_0 \sin(\omega t)]$$

$$\mathcal{E} = -\frac{d\Phi}{dt} = -L \frac{\omega}{K} [B_0 \cos(\omega t - kL) - B_0 \cos(\omega t)]$$

A perda ôhmica é dada pela expressão $P=E^2/R$, ou seja

$$P = \frac{\mathcal{E}^2}{R} = \frac{L^2 B_0^2 \omega^2}{K^2 R} [\cos(\omega t - kL) - \cos(\omega t)]^2.$$